

# 컴퓨터를 이용한 PLA의 故障 檢出에 관한 研究 (A Study on the Computer Aided Fault Detection in PLAs)

林濟鐸\*, 李斗秀\*, 金熙碩\*, 李殷高\*\*

(Chae Tak Lim, Doo Soo Lee, Hi-Seok Kim and Eun Seol Lee)

### 要 約

PLA는 多入力-多出力에 적합하지만 入力變數의 증가와 積項의 증가에 따라 종래의 방법으로는 테스트 入力の 생성이 곤란하게 된다.

본 논문에서는 이와 같은 테스트 入力を 구하기 위하여 sharp 연산과 cap 연산을 동시에 처리하는 效果的인 컴퓨터 알고리즘을 구성하고 이것을 프로그램에 의해서 실행하였다.

### Abstract

It is a time-consuming work to generate test inputs of a PLA as inputs and product terms are increasing. In this paper we design a computer algorithm which is efficient for processing sharp and cap operator simultaneously. An assembly language program is coded and run successfully.

### I. 序 論

일반적인 組合論理回路는 2-level AND-OR 계의 구조로 치환하여 프로그램을 하므로서 원하는 기능을 가지도록 배열한 것이 PLA (programmable logic array)이며 多入力-多出力의 論理函數를 실현하는데 적합하다.

PLA에서는 fusing을 하므로써 사용자가 원하는 출력을 얻게 되는데 使用者가 fusing을 直接할 수 있도록 고안된 것이 FPLA (field programmable logic array)이다.

Fleisher와 Maisel<sup>[1]</sup>에 의하여 제안된 PLA는 기억 장치와 흡사한 非積적인 구조로 되어 있으므로 LSI/VLSI의 設計에 그 응용도가 높다.

PLA는 fusing에 의하여 프로그램명을 하므로 일반

적인 組合論理回路에서는 존재하지 않는 fusing에 의한 故障가 발생하게 된다. 이 故障를 檢出하기 위하여 Smith<sup>[2]</sup>는 sharp 연산 (#)을 사용하여 테스트 入력을 구하였으며 Agarwal<sup>[3]</sup>은 SAE (stuck-at-equivalence) 回路로 치환하여 multiple fault 檢出에 대하여 논하였다. Hong과 Ostapko<sup>[4]</sup>는 PLA의 入力 decoder 部分이 2 入力 decoder로 된 경우를 기본으로 하여 테스트 入력을 구하는 방법을 제안하였다.

원자의 論文 [5]에서는 위의 論文 [2], [3], [4]에서 해결하지 못한 고상 위치 과민과 redundant 상태의 고상을 검출하는 방법을 제안하였으며, sharp 연산과 cap 연산을 사용하여 고상 상태를 고려하지 않고 직접 PLA의 상태로 부터 테스트 入력을 求하는 방법을 제안하였다.

그러나 [5]에서 제안한 방법으로 테스트 入력을 구하는 경우 PLA의 入力 變數와 積項의 증가하게 되면 테스트 入력을 求하기가 어렵게 된다.

本 論文에서는 이와 같은 문제점을 해결하기 위해 [5]에서 제안된 고상 검출의 방법을 改善해 컴퓨터

\*正會員, \*\*準會員, 漢陽大學校 工科大學 電子工學科 (Dept. of Elec. Eng., Hangyang Univ.)

를 사용하여 테스트 入力을 효율적으로 求할 수 있는 알고리즘을 제안하였다. 그리고 PLA의 fusing 되는 부분에서 발생하는 고장을 分析, 分類하였으며, 特別 bridge 형태의 고장으로 치환할 수 있는 고장에 對하여도 論하였다. 그러므로 sharp 연산과 cap 연산을 동시에 처리하여 PLA의 상태표로부터 직접 테스트 入力を 구하는 것이 가능하게 되었으며 이를 어셈블리 언어로 프로그래밍하여 실행하므로써 효과적인 결과를 얻은 것이다.

II. PLA의 一般의인 特性

PLA는 그림 1과 같은 구조로 되어 있으며, 入力 decoder에는 보수상태(0)와 정상상태(1)의 2가지 상태가 存在한다. 그림 1에서 dot는 fusing을 하지 않은 상태를 나타내며, 한 入力 變數에 對하여 2가지 상태

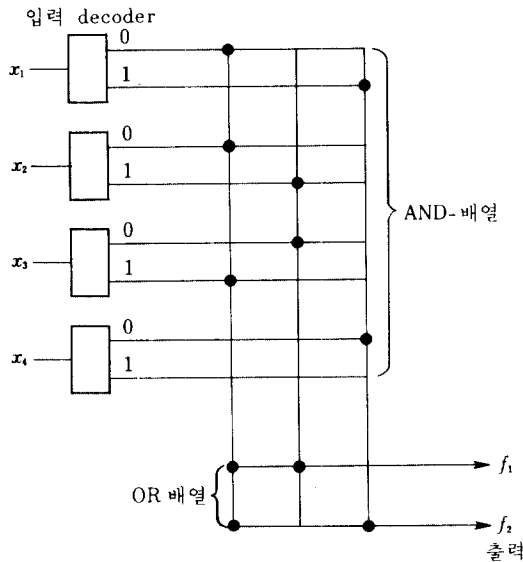


그림 1. PLA의 기본 구조  
Fig. 1. Basic structure of PLA.

표 1. PLA의 상태표  
Table 1. A cubical notation of PLA.

| $x_1$ | $x_2$ | $x_3$ | $x_4$ | $f_1$ | $f_2$ |
|-------|-------|-------|-------|-------|-------|
| 0     | 0     | 1     | X     | 1     | 1     |
| X     | 1     | 0     | X     | 1     | 0     |
| 1     | X     | X     | 0     | 0     | 1     |

를 모두 fusing 하면 don't care 상태(X)가

PLA가 정상적으로 動作하려면 적어도 1個 이상이 fusing 되어야만 한다.

표 1은 그림 1의 상태를 나타내며 이것을 sum-of-product의 형태로 표시하면

$$f_1 = \bar{x}_1 \bar{x}_2 x_3 + x_2 \bar{x}_3$$

$$f_2 = \bar{x}_1 \bar{x}_2 x_3 + x_1 \bar{x}_4$$

III. 故障 상태의 分析

PLA의 入力에서 發生하는 單一 故障은 6가지의 경우가 있으며 出力에서는 2가지로 區分된다. 표 2는 故障의 상태를 나타내며, 9와 10은 fusing 되는 부분이 바뀌었으므로 回路를 살펴보면 二重 故障이 된다.

7과 8은 OR배열에서 發生하는 故障으로 出力에서 積項에 영향을 준다. 特別 5와 6의 고장은 그림 2(a)와 같이 정상상태와 보수상태가 모두 連結되어 있으므로 x에 어떤 값을 이가해도 出力은 항상 0이 되므로 그림 2(b)의 bridge형 故障으로 치환할 수 있다.

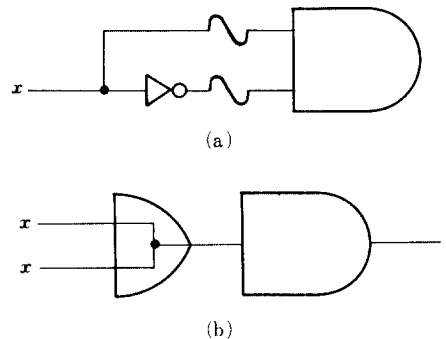


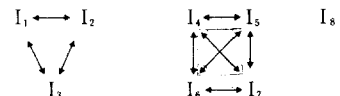
그림 2. (a) 5와 6의 고장 (b) Bridge형 고장  
Fig. 2. (a) Fault of 5 and 6. (b) Bridge type fault.

IV. 테스트 入力 생성 알고리즘

우선 sharp 연산과 cap의 연산을 이용하여 테스트 入력을 생성하는 방법에 對하여 論하기로 한다.

- 1) 各 入力들 사이의 관계를 조사하기 위하여 sharp (#) 연산을 한다.
- 2) Cap의 관계가 있는 入力들 間에 cap의 연산을 하여 테스트 入력을 求한다.

入力の 數가 8個인 경우 (I)의 연산을 한 結果가 다음과 같은 때



(단 “ $\leftrightarrow$ ”는 cap의 관계가 있는 入력을 나타냄.)

표 2. 고장의 분류

Table 2. Classification of faults.

|    | 정 상       | 고 장       |   |
|----|-----------|-----------|---|
|    | x         | x         |   |
| 1  | 1         | X         | $x \rightarrow X$ (Dont care)             |
| 2  | 0         | X         | $\bar{x} \rightarrow X$ (Dont' care)      |
| 3  | X         | 1         | $X \rightarrow x$                         |
| 4  | X         | 0         | $X \rightarrow \bar{x}$                   |
| 5  | 1         |           | $x \rightarrow x \cdot \bar{x}$ (B)       |
| 6  | 0         |           | $\bar{x} \rightarrow \bar{x} \cdot x$ (B) |
| 7  | $f_n : 1$ | $f_n : 0$ | 積項이 fusing된                               |
| 8  | $f_n : 0$ | $f_n : 1$ | 積項이 fusing안된                              |
| 9  | 1         | 0         | $x \rightarrow \bar{x}$                   |
| 10 | 0         | 1         | $\bar{x} \rightarrow x$                   |

테스트 入力은  $T_1 = I_1 \cap I_2 \cap I_3$ ,  $T_2 = I_4 \cap I_5 \cap I_6 \cap I_7$ ,  $T_3 = I_8$ 의 3個가 된다. 特히  $I_8$ 은 어느 入力과도 cap의 관계가 없으므로  $I_8$  自信이 테스트 入力이 된다.

入力の 數(=積項의 數)가 작고, 入力 變數가 작을 경우에는 (1)과 (2)의 方法으로 故障 상태를 고려하지 않고 간단히 求할 수 있지만, 積項의 數가 증가하고, 入力 變數가 증가하면 위 方法으로 테스트 入力を 求하기 어렵다. 그러므로 이와 같은 문제점을 해결하기 위하여 그림 3의 알고리즘을 제안하여 컴퓨터로 처리할 수 있도록 하였다. Sharp 연산은 多入力の 變수를 最小化 하기 위하여 使用하는데 그 性質은 다음과 같다.

표 3. Sharp 연산표

Table 3. Coordinate sharp product.

| a # b | b      |        |   |
|-------|--------|--------|---|
|       | 0      | 1      | X |
| 0     | Z      | $\phi$ | Z |
| a 1   | $\phi$ | Z      | Z |
| X     | 1      | 0      | Z |

$$\begin{cases} a = 0 \ 1 \ X \ 0 \\ b = X \ 1 \ 0 \ 0 \end{cases} \quad \text{인 경우,}$$

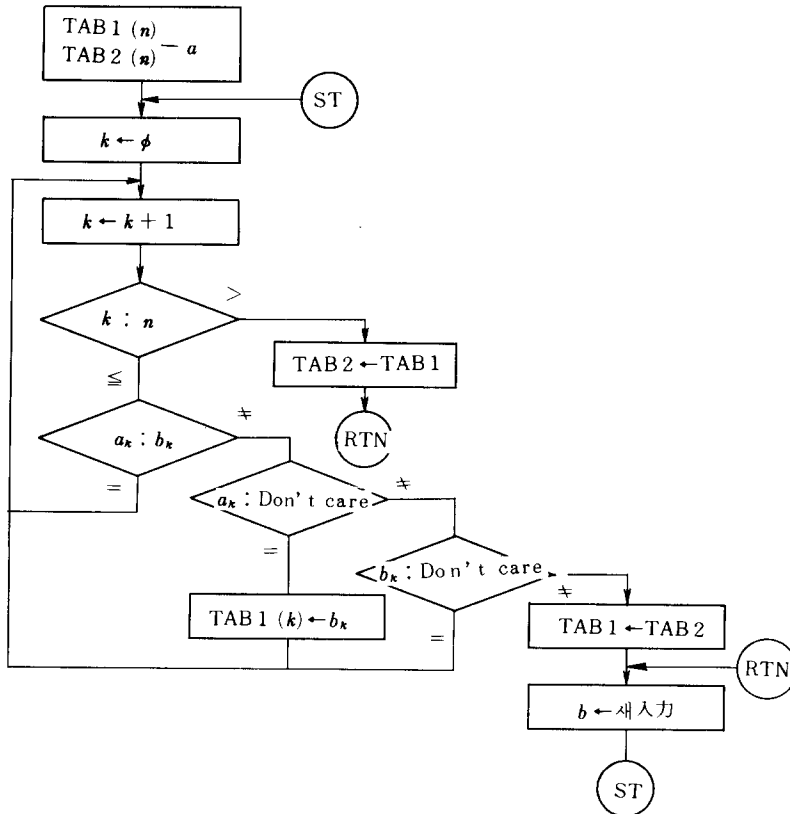


그림 3. 테스트 入力 생성 알고리즘

Fig. 3. Algorithm for test input generation.

$a \# b$ 는  $a$ 에서  $b$ 와 공통되는 요소를 제외한 요소를 나타낸다.

표 3에 의해 연산한 결과에  $\phi$ 가 하나도 존재하지 않는다면  $a$ 와  $b$ 는  $cap$ 의 관계가 있지만  $\phi$ 가 하나라도 존재한다면  $cap$ 의 관계가 없으므로  $a$ 가 주항(prime implicant)이 된다. 여기에서는  $\phi$ 가 하나도 존재하지 않으므로  $cap$ 의 관계가 있다.

|    |    |    |    |
|----|----|----|----|
| 00 | 01 | 11 | 10 |
|    | b  | a  | b  |
| 01 |    |    |    |
| 11 |    |    |    |
| 10 | a  |    |    |

K-Map에서 보는 바와 같이 0100가 공통이므로  $a \# b$ 는 0110가 된다. 그림 3의 알고리즘에서는 sharp 연산을 수행하기 위해 입력들의 각 변수를 비교

하여 양쪽 변수에 don't care 상태가 존재하지 않으면서 다른 경우(1)과 0, 0과 1)에는 다음 입력을 선택하는 방법을 사용하였다. Cap의 연산을 수행하기 위해 각 변수가 같은 경우에는 다음 단계로 넘어가고 X;  $a(X \rightarrow \text{don't care}, a \in \{0,1\})$ 인 경우  $X \leftarrow a$ 로 치환하며  $a; X$ 인 경우에는 다음 단계로 넘어가는 방식을 사용하였다. 그러므로 입력 변수가  $n$ 개이고 항이  $m$ 개인 경우 테스트 입력의 수  $T$ 는  $1 \leq T \leq m$ 이 된다.

$T=1$ 은 모든 입력이 cap의 관계가 있는 경우이며,  $T=m$ 은 모든 입력이 cap의 관계가 없는 경우가 된다.

- $I_1 = 01X01X10$
- $I_2 = X100X1XX$
- $I_3 = XX0X1110$

인 경우 이와 같은 알고리즘을 이용하여 구한 테스트 입력은 0100 1110가 된다. 테스트 입력을 구한 후에는 [5]에서 제안한 방법을 사용하여 고장 검출을 하게 된다. 그림 4는 입력 변수가 16개, 항이 48개인 경우 테스트 입력을 생성하기 위한 순서도(flow-chart)를 나타내며 부록은 이것을 어셈블리 언어로 coding한 프로그램을 나타낸다.

Univac-9  $\phi 3\phi$ 를 사용하여 테스트 입력을 생성한 결과 CPU time이 약 1분 20초 정도가 소모되었으며, 입력 변수가 16개, 항이 96개인 경우에도 약 1분 21초가 소모되었다. 여기서 PLA의 입력을 random하게 임가하였으며, CPU time은 매번 입력을 다르게 하여 항이 48개인 경우 6번의 결과를 평균한 값을 반환받았으며 항이 96개인 경우도 6번의 결과를 평균한 값을 반환받아서 구한 값이다.

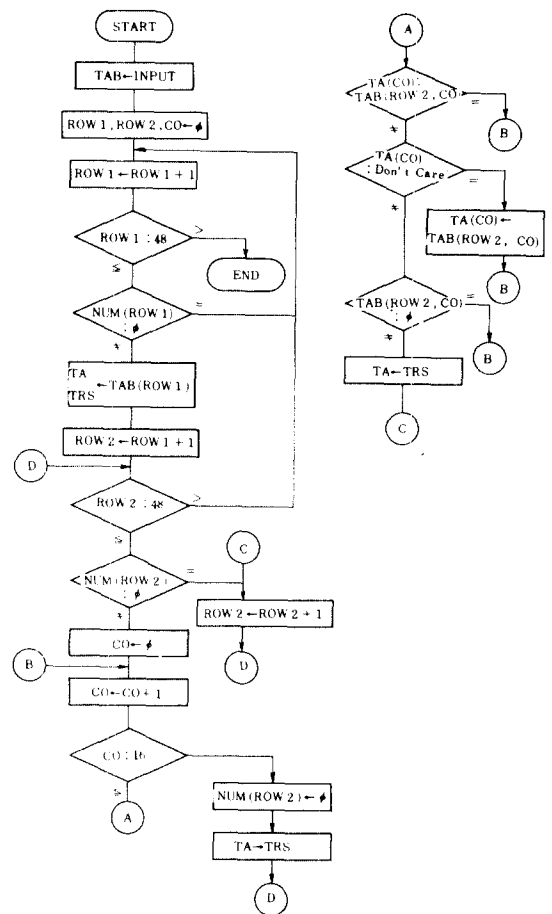


그림 4. 테스트 입력 생성을 위한 플로우차트  
Fig. 4. Flow-chart for test input generation.

### V. 結 論

본 논문에서는 테스트 입력을 구하는데 있어서故障 상태를 고려하지 않고 PLA의 상태로 부터 직접 구하도록 한 방법 [5]를 개진하였다.

컴퓨터를 이용한 본故障 檢出法에 의하면 입력 변수의 수와 항의 수가 증가하여도 效果의으로 테스트 입력을 구할 수 있으며 또한 sharp 연산과 cap 연산을 동시에 처리하므로 계산 시간이 단축된다.

따라서 입력 변수나 항이 증가해도 비교 명령문의 변수만 바꾸어 주면 되므로 테스트 입력을 구하기가 간편해진다.

